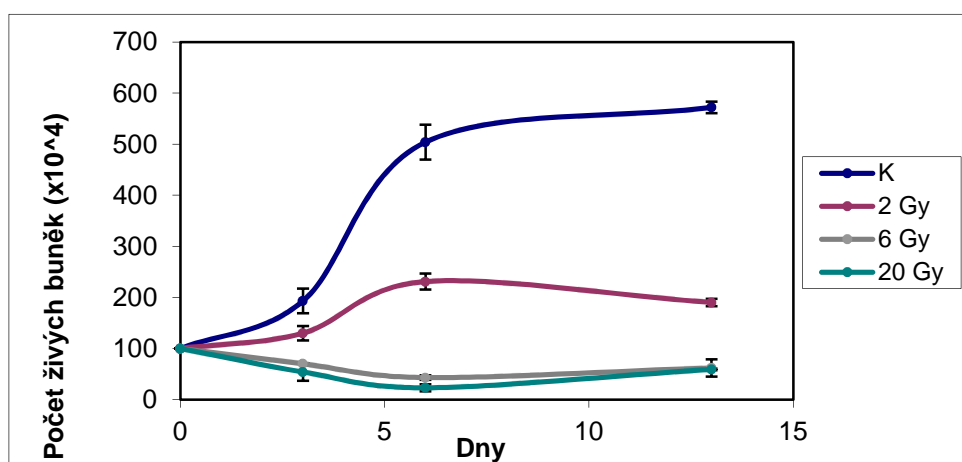


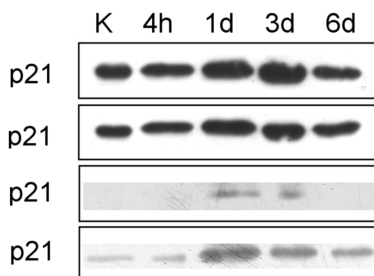
Errata k disertační práci s názvem
Změny vybraných proteinů v reakci na genotoxický stres

Mgr. Jana Čmielová

1. Str. 15: Řádek č. 5: Zaměnit „kaspázu 3“ za „kaspázu 3“ .
2. Str. 25: Oddíl 3.4 – doplnění: Analýza indukce apoptózy a buněčného cyklu u kmenových buněk zubní pulpy byla provedena na průtokovém cytometru CELL LAB QUANTA (BECKMAN COULTER, USA), ostatní analýzy u dalších buněčných linií byly provedeny na průtokovém cytometru CyAn ADP (BECKMAN COULTER, USA). Pro vyhodnocování výsledků buněčného cyklu byl použit program Multicycle AV (PHOENIX FLOW SYSTEMS, USA), pro ostatní analýzy byl použit program Summit v4.3 (BECKMAN COULTER, USA).
3. Str. 25: Oddíl 3.4 – doplnění: Pro každý jednotlivý soubor byly použity 3 vzorky.
4. Str. 25: Oddíl 3.5 – doplnění: Pro každý soubor bylo kultivováno a ovlivňováno 1×10^6 buněk. Pro hodnocení apoptózy a histonu γ H2AX bylo analyzováno 5×10^4 buněk v triplikátu, pro analýzu buněčného cyklu 1×10^5 buněk v triplikátu.
5. Do metodické části doplnit odstavec 3.11 Statistické hodnocení výsledků: Není-li uvedeno jinak, výsledky byly zpracovány v tabulkovém procesoru Microsoft Office Excel 2003. U všech hodnot byl vypočítán aritmetický průměr a směrodatná odchylka. Statistická analýza rozdílů mezi výslednými hodnotami byla provedena použitím Studentova t-testu, hodnoty $p < 0,05$ byly považovány za signifikantní.
6. Do grafu č. 1 byly vypočteny směrodatné odchylky a doplněny chybové úsečky.



7. Str. 30, 39, 40 - vysvětlení přístupu k diskriminaci dubletů a vícenásobných multipletů při analýze DNA průtokovou cytometrií – první DNA analýzy byly prováděny na průtokovém cytometru CELL LAB QUANTA (BECKMAN COULTER, USA), na kterém softwarová diskriminace dubletů a vícenásobných multipletů není možná. Tudíž pro prevenci výskytu dubletů a multipletů a jejich faktické odstranění z vlastního vzorku byly buňky homogenizovány a filtrovány 70 μm filtrem. Na základě analýz takto zpracovaných vzorků, kde bylo množství dubletů zanedbatelné jsme tento postup použili i pro další analýzy na cytometru CyAn ADP a softwarovou diskriminaci jsme pro zachování kontinuity prováděných experimentů dále neprováděli (ačkoliv pokročilejší ovládací program novějšího a dražšího cytometru CyAn tuto funkci již dovoľoval). U bodových diagramů např. na str. 39 obr. 13 jsme měřili procento γH2AX pozitivních buněk a gatovali jsme pozitivní populace, proto můžeme odhadovat velmi male množství dubletů a vícenásobných multipletů, které nijak výrazně neovlivní procentuální zastoupení buněk. Navíc i vzorky intra stain pro detekci gamaH2AX byly filtrovány 70 μm filtrem a homogenizovány s cílem odstranit dublety a vícenásobné multiplety.
8. Str. 31: obr. č. 7 – pro objasnění pozitivní exprese proteinu p21 jsou přiloženy výsledky dalších nezávislých experimentů.

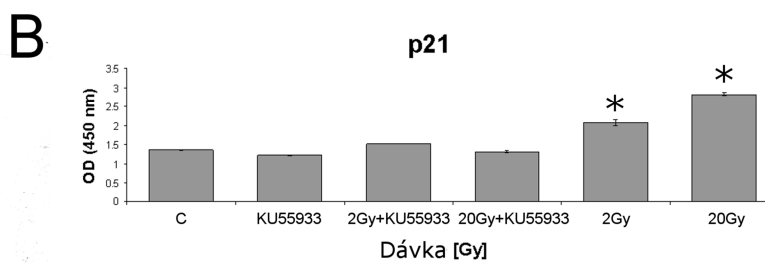


9. Str. 35: První odstavec na straně 35 zaměnit za: Rozdělení buněk v jednotlivých fázích buněčného cyklu odpovídající obsahu DNA bylo analyzováno po ozáření a srovnáno s kontrolní skupinou. Nižší dávky ionizujícího záření 2 a 6 Gy způsobily u MKB kostní dřeně pokles počtu buněk v S fázi buněčného cyklu (u obou dávek 11 %, kontrola 16 %) během prvního dne. U dávky 20 Gy je procento buněk v S fázi po ozáření srovnatelné s kontrolními buňkami. Zároveň během prvního dne došlo po dávkách 6 a 20 Gy k akumulaci buněk v G2/M fázi (36 % a 35 %, kontrola 12 %) a srovnatelné množství buněk se nacházelo v G2/M fázi po ozáření dávkou 20 Gy po 6 dnech (Obr. 10).

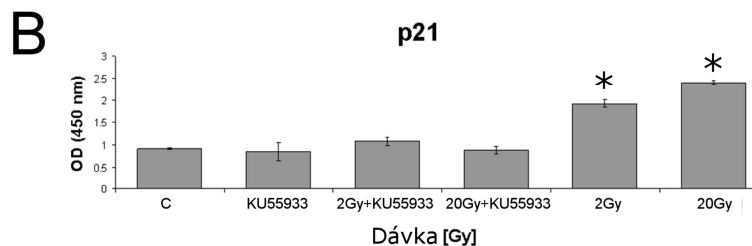
10. Str. 44 a 45, Obr. 16D a 17D: Doplněny hvězdičky u statisticky významných výsledků.

* - hodnoty signifikantně odlišné od kontrolních hodnot ($p < 0,001$)

Obr. 16D



Obr. 17D



11. Str. 47, popis u obr. č.18D: Zaměnit větu „Výsledky jednoho ze 3 nezávislých experimentů“ za „Byly použity reprezentativní výsledky jednoho ze 3 nezávislých měření. Procentuální hodnoty v grafech vyjadřují průměrné hodnoty těchto tří analýz“.

12. Str. 48, řádek č. 5: zaměnit ($p < 0,05$) za ($p > 0,05$).

13. Str. 60, řádek č. 15: zaměnit „spocívá“ za „spocívá“.